

京都大学防災研究所 正員 野田英明  
運輸省第四港湾建設局 正員 ○川嶋康宏

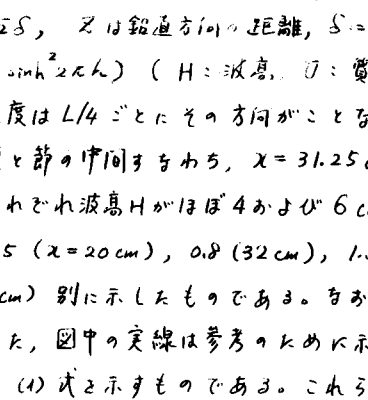
1. まえがき； 波動運動に伴って海底に発達する境界層は、浅海における波の変形や底質の移動現象を解明するため、きわめて重要である。著者らは従来から、重複波による砂堆の発生機構を解明するため、浅海重複波による底面付近での流れの挙動、とくに質量輸送とそれによる底質の移動について検討してきた。しかし、従来は主として、層流境界層でかつ底面が滑面という条件のみに限られていて、今回は底面が粗面でかつ乱流境界層という条件についても実験を試み、若干の結果を得た。ここではその結果について述べる。

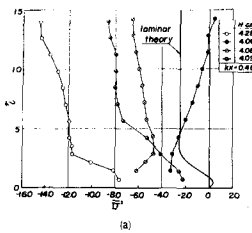
2. 実験装置と方法； 実験は長さ3m、幅0.3mおよび高さ1.0mの鋼製片面ガラス張水槽を用いて行った。水槽の一端は鉛直壁とし、これより2.5mの位置にフラッター式造波機を設置した。水槽底面はアクリル樹脂板を用いて水平にし、これに1.10mのB<sub>1</sub>を通過し、0.85mmの粒に減じた木津川産の砂をスルケして固定粗面とした。粗面上における質量輸送速度とその鉛直分布を測定するためにつぎのようない法をとった。すなはち、過マンカン酸カリの微小粒子を水中に投入し、沈降中にできる一束の細い赤色条痕を利用して、波の一周期ごとに、ストロボ・スコープを用いてこれを写真撮影し、その変位から質量輸送速度を算出した。つぎに波高の大きい場合には、水底のある特定位置に粒径ほぼ1mmの底質100粒を投入してその移動状況を調べた。実験は水深を40cmと一定にし、波の周期Tおよび波長Lをそれぞれ、1.45secおよび250cmと固定して、波高を変化させて行った。

3. 粗面上の質量輸送速度とその鉛直分布； 実験に用いた重複波は鉛直壁よりの距離をxとするとき、 $x=0$ および125cmで振動の腹となり、この位置では水粒子は鉛直方向へ移動するのみである。一方、 $x=62.5\text{ cm}$ の位置は振動の節となり、水粒子の水平方向の速度成分は最大となる。さらに、層流理論によると、境界層内の質量輸送速度は次元で表すと、

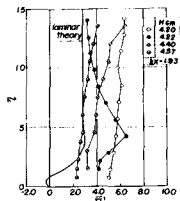
$$U' = K(\gamma) \sin 2kx \quad (1)$$

$$K(\gamma) = -3 + 8 \exp(-\gamma) \sin \gamma + 3 \exp(-2\gamma) \quad (2)$$

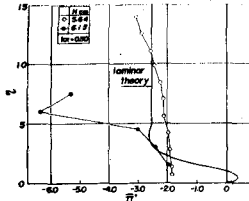
となる。ここで、 $\gamma = z/\sqrt{2S}$ 、zは鉛直方向の距離、 $S = \sqrt{H/2\pi C}$ 、Cは動粘性係数、 $k = 2\pi/L$ であり、 $U' = U/(C^2 H^2 / 8 L T \sinh^2 2kx)$  ( $H$ : 波高、 $U$ : 質量輸送速度) が与えられる。したがって、層流の場合、質量輸送速度は  $L/4$  ごとにその方向が逆となり、その大きさは重複波の腹かよび節の位置でつねり0となり、腹と節の間を走る、 $x = 31.25\text{ cm}$  および  $93.75\text{ cm}$  において最大となる。図-1 および図-2はそれゆえ波高Hがほぼ4および6cmの場合における粗面上の質量輸送速度の鉛直分布を位置  $kx = 0.5$  ( $x = 20\text{ cm}$ )、 $0.8$  ( $32\text{ cm}$ )、 $1.57$  ( $62.5\text{ cm}$ )、 $1.95$  ( $77.6\text{ cm}$ )、 $2.34$  ( $93.2\text{ cm}$ ) および  $3.14$  ( $125\text{ cm}$ ) 別に示したものである。また、粗面の場合、鉛直軸区の原点は底面突起の平均位置と定めた。また、図中の実線は参考のために示した、滑面・層流理論にとづく質量輸送速度の鉛直分布すなはち(1)式を示すものである。これらの図から明らかのように、測定結果は



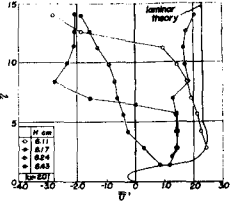
(a)



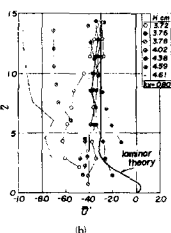
(d)



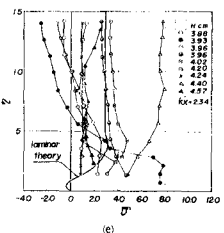
(a)



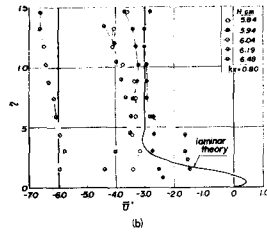
(d)



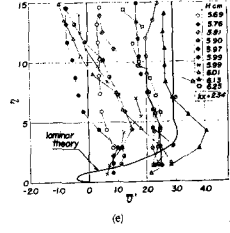
(b)



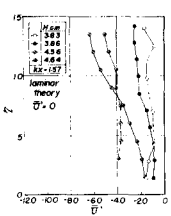
(e)



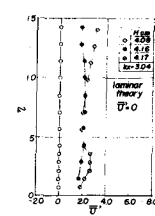
(a)



(d)



(c)



(f)

図-1 質量輸送速度の鉛直分布 ( $H=4\text{ cm}$ )図-2 質量輸送速度の鉛直分布 ( $H=6\text{ cm}$ )

相当にはうついているが、その一般的傾向を示すとつきのようである。(1) 実験値のばらつきは相当大きいが、質量輸送の方向はすべての実験結果もほぼ同じであって、層流理論によって示される移動方向と一致している。(2)  $\bar{U} < 1.0$  では dye-streak が乱れて、質量輸送速度を測定することができなかつた。したがつて、この付近では層流理論にみられる輸送方向と逆転層を確かめることができなかつた。(3) 質量輸送速度の鉛直分布は、 $\bar{U}$ の値が 10 程度になると、減少する傾向がみえる。とくに、最大質量輸送速度を示す位置  $Rx = 2.34$  附近では、この傾向が顕著であり、測定されたものうち、いくつかは、逆方向に輸送のおこつていることがわかる。(4) 一般に、実験値は層流理論にもとづく計算値よりかなり大きい。Brebner は、進行波による粗面上の質量輸送について実験を行ない、粗面では波の特性が同じであつても、底質粒径が大きくなると、質量輸送速度も大きくなることおよび小さな波高の場合でも、滑面におけるそれより大きくなることを示した。重複波についても同じ傾向が見出せる。(5) Brebner および Collins によると、 $Re = H/\sqrt{ST} \sinh Rh$  で示される Reynolds 数の値が 90 以上になると、底面境界層は乱流に遷移することになると。しかし、彼らのその後の実験によると、粗面では滑面に対する限界 Reynolds 数より小さい値で遷移するようである。著者らの実験は  $Re$  の値が  $H = 4\text{ cm}$  および  $6\text{ cm}$  のそれぞれに対して、20 および 43 であつて、滑面の場合には乱れていないと考えられる。しかし、粗面の場合、 $\bar{U} < 1.0$  で鮮明な dye streak が得られないことから、底面の近くで乱れが発生していると考えられ、これは Brebner や Vincent の結果と同じ傾向を示すようである。ただし、乱れの発達していふのは、水粒子速度の大きさ重複波の節附近であると考えられる。

4. 固体粒子による質量輸送速度の測定と底質の移動：波高Hがほぼ10 cm Kを3ヒ、それため染料法による質量輸送速度の測定は不可能となる。そこで、著者らが滑面の場合に対して用いた固体粒子法によることを測定しようと試みた。しかし、单一粒子の場合、底面の突起によって固体粒子は転動、跳躍などの複雑な運動をするため、測定値は非常にことなるてくる。したがって、底面突起の分布が固体粒子の運動に大きな影響を及ぼすこととなる。これを避けるため、表-1に示すよう特性をもつ、粒径1mmの数種の粒子を100粒づつ水槽に沈め、その平均の移動速度を測定するようした。

表-1 固体粒子の

物理的性質

	比重	$\tan \phi$
塩化ビニール粒子	1.27	0.89
石炭粉	1.40	1.08
人工軽量骨材	1.84	1.16

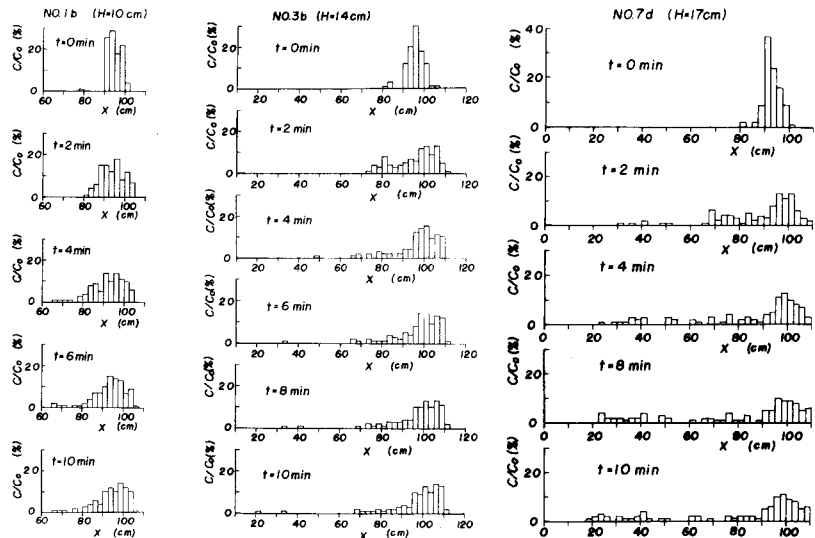


図-3は  $x=90\sim100\text{cm}$  の位置に投入された塩化ビニール粒子が時間の経過とともに移動していく過程を波高別に示したものである。(b)

様に図-4は石炭粉粒子に対する結果である。ここで、縦軸は投入全粒子数  $C_0$  と任意の時間のある場所における個数  $C$  の比と百分率で示したものであり、横軸は鉛直壁からの距離  $x$  を示している。この実験結果において、質量輸送は前述したように、 $x=0\sim62.5\text{cm}$  の範囲では  $x$  の負の方に向へ、

図-3 塩化ビニール粒子の移動過程

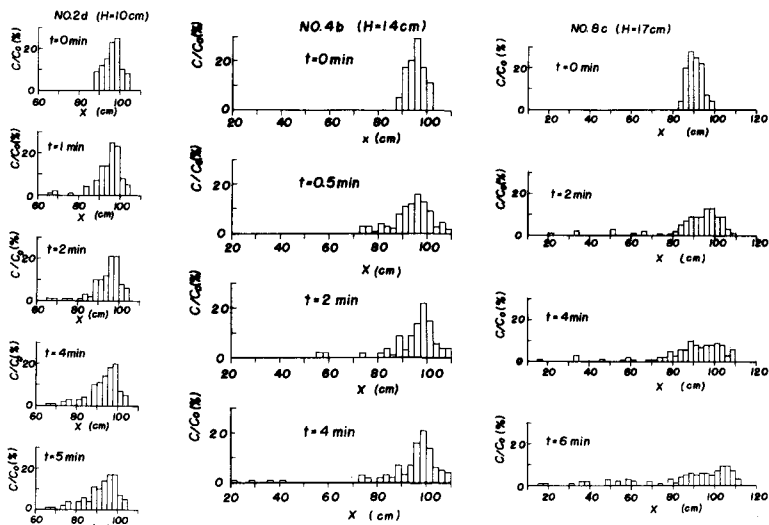


図-4 石炭粉粒子の移動過程

$x=62.5\sim125\text{cm}$  では正の方向へ輸送される。また、速さの最大はそれが他の領域において、 $x=31.25$  および  $93.75\text{cm}$  である。これらの図から、粒子は投入仰所からその両側に移動していくことがわかる。さらには、どの波高、いかんの底質においても、底質粒子は平均的に腹の方向に移動しているか、投入

後数分経過すると  $x > 105\text{ cm}$  の領域にあり粒子数はほぼ一定となる。これは粒子の移動限界以下とちるため粒子が運動を停止したことによるものである。浓度が増大すると、両粒子とも質量輸送とは逆の方向に移動する数が増加し、その移動範囲も広くなるとともに短時間で広範囲に分散する。この傾向は比重の重い石炭粉粒子は塩化ビニール粒子の場合ほど顕著ではない。さらに、ここでは示しておないが、人工輕量骨材の場合  $H=10$  カリ  $14\text{ cm}$  では、投入点においてもほとんど移動しなかった。以上の結果から、重複波のように流体が周期運動をする場合、水粒子の往復運動と底面粗度の条件によつて、底質は diffusion と advection の作用をうけて輸送土粒子と考えられる。したがつて、その移動過程を考察するにあたつて、(1) 底質の diffusion は分子拡散と同じ様に、拡散の割合は距離に関する係数変化に比例する、(2) 底質の advection は質量輸送速度に比例する、と仮定すると、底質の粒子係数  $C$  の分布に因る式は

$$\frac{\partial C}{\partial t} = \frac{\partial}{\partial x} \left( K \frac{\partial C}{\partial x} \right) - \frac{\partial (UC)}{\partial x} \quad (3)$$

で与えられる。ここで、 $K$  および  $U$  は底質の拡散係数であり、一周期平均の移動速度である。本實験的確率論的方法によつて求められた値であると考えられる。いま、簡単のため、 $K$  および  $U$  を一定とし、 $t=0$  で  $C=C_{00}$ 、 $x=\infty$  で  $C=0$  という条件のもと  $K$  (3) 式と解くと、底質

$$C(x,t) = \frac{1}{\sqrt{4Kt}} \int_{-\infty}^{\infty} C_{00}(s) \exp \left[ -\frac{(x-Us)^2}{4Kt} \right] ds \quad (4)$$

となる。重複波の場合、 $K$  および  $U$  は場所的に一定とは考えられないが、いま第一次近似として (4) 式を用ひ、 $K$  および  $U$  に適当な値を与えて、実験結果にもとづくよく合致する理論曲線を求め、 $K$  および  $U$  のもと性質について検討しよう。

図-5 および図-6 は  $x=91\sim 96\text{ cm}$  (質量輸送速度の最も大きいところ)

における、塩化ビニール粒子および石炭粉粒子の係数の時間的変化を示すもので、図中の曲線は上の表に示された数値にもとづいて計算されたものである。これらの圖

からわかるように、 $U$  の値は波高の増大とともに

増加するが、比重の増大とともに減少することを示しておる。すなわち、層流理論による質量輸送速度が  $H=10\sim 17\text{ cm}$  に対し、 $U=0.7\sim 2.1\text{ cm/sec}$  であるが、実験結果ではかなり小となることがわかる。

	$H(\text{cm})$	$K(\text{cm}^2/\text{sec})$	$U(\text{cm/sec})$	$X(\text{cm})$	(cm)
○	10	0.04	0.03	96	—
○	14	0.20	0.06	96	96
●	17	0.40	0.08	91	93

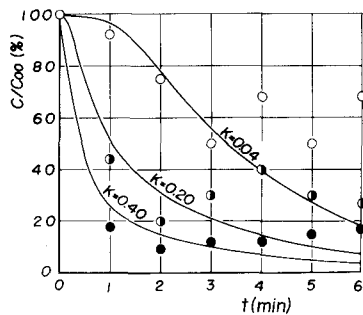


図-5 塩化ビニール粒子の移動過程の理論と比較

	$H(\text{cm})$	$K(\text{cm}^2/\text{sec})$	$U(\text{cm/sec})$	$X(\text{cm})$	(cm)
○	10	0.01	0.01	96	96
○	14	0.10	0.01	96	955
●	17	0.25	0.02	91	905

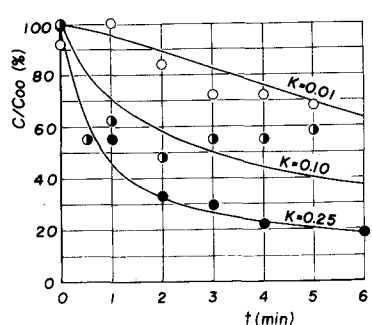


図-6 石炭粉粒子の比較